

или $\Gamma \rightarrow \mu^+ \mu^-$. Двухплечевые М. с. регистрируют события только в узком кинематич. диапазоне (напр., регистрируется только $J/\psi \rightarrow e^+ e^-$ или только $\Gamma \rightarrow \mu^+ \mu^-$, почти покоящиеся в системе центра масс). Они непригодны для анализа сложных многочастичных процессов.

Спектрометры недостающей массы применяются при исследовании короткоживущих т. и. резонансных частиц (см. Резонанс). Напр., если происходит реакция $\pi^- p \rightarrow X^- p$ (X^- — все вторичные частицы), то, измеряя импульс и угол вылета протона отдачи p с

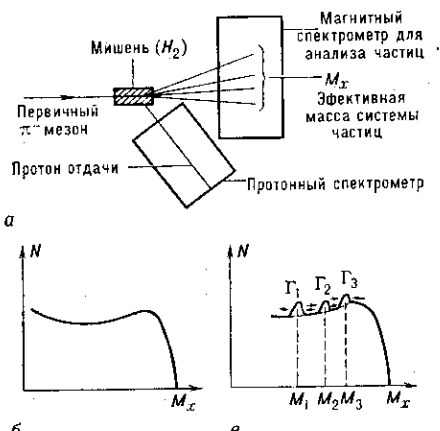


Рис. 3. Принцип действия спектрометра недостающих масс; вверху: схема спектрометра (*а*), внизу: спектры недостающих масс — гладкий (*б*) и с максимумами (*в*).

помощью протонного спектрометра (рис. 3,а), можно определить эффективную массу M_x системы X^- (т. н. недостающую массу). Если в реакции всегда образуется неск. независимых вторичных частиц, спектр недостающих масс гладкий (рис. 3,б). Однако если реакция идёт в 2 этапа — вначале совместно с протоном отдачии образуются мезонные резонансы, а затем резонансы распадаются на вторичные частицы, то спектр недостающих масс содержит максимумы, свидетельствующие о существовании резонансов (рис. 3,в). Спектрометры недостающей массы обычно дополняют какие-то др. приборы, напр. широкоапертурные М. с. В этом случае происходит как бы двойной отбор событий: с помощью спектрометра недостающих масс восстанавливается процесс образования состояния X^- , а распад этого резонанса регистрируется и изучается в широкоапертурном М. с.

Железные М. с. Для измерения импульса и идентификации мюонов высоких энергий, к-рые могут без поглощения проходить значит. толщины вещества, применяются большие спектрометры из намагниченных слоёв Fe. Точность измерения импульса в железном спектрометре растёт при увеличении отклонения в магн. поле и ограничивается многократным рассеянием в Fe. Т. к. угол отклонения линейно растёт с длиной траектории L , а угол многократного рассеяния пропорционален \sqrt{L} , то с увеличением длины железного М. с. точность измерений импульса растёт. Железные М. с. часто применяются в качестве мюонных детекторов в нейтринных опытах. Иногда железный М. с. объединяет функции и спектрометра, и мишени.

М. с. для экспериментов со встречными пучками включают в себя сверхпроводящие соленоиды или большие магниты, окружающие область, где взаимодействуют 2 сталкивающихся пучка частиц. Такие магнитные системы перекрывают угол, близкий к 4л. Встречные пучки проходят по осям установки, а многочис-

регистрирующие приборы располагаются концентрически как внутри самого М. с., так и вне его.

Лит.: Методы измерения основных величин ядерной физики, под ред. К. Л. Люк Юан и Ву Цзянь-сюн, пер. с англ., М., 1964; Элементарные частицы, в. 2, М., 1978; в. 2, М., 1980; в. 1, М., 1981; в. 1, М., 1984 [материалы школ физики ИТЭФ].

Л. Г. Ландесберг.

МАГНИТНЫЙ ФАЗОВЫЙ ПЕРЕХОД — *фазовый переход*, при к-ром изменяется магн. фаза, т. е. макроскопич. состояние всей или части магн. подсистемы твёрдого тела (см. *Магнетизм*). Магн. фазы характеризуются параметрами магнитного упорядочения, по их изменению идентифицируются фазовые переходы. М. ф. п. могут быть обусловлены изменением только темп-ры T (спонтанные М. ф. п.), давления P или внеш. магн. поля H (индивидуированные М. ф. п.), концентрации магн. ионов x (концентрационные М. ф. п.) и др. термодинамич. параметров. Различают М. ф. п. 1-го рода (когда параметр магн. упорядочения изменяется скачком) и М. ф. п. 2-го рода (с плавным изменением параметров упорядочения).

Типичными примерами М. ф. п. могут служить: температурные переходы ферромагнитной (ФМ) фазы в парамагнитную (ПМ) в *Кюри точке*; антиферромагнитной (АФМ) фазы в парамагнитную в *Нееля точке*; индуцированные внешн.магн. полем переходы от АФМ-фазы к спин-флоп-фазе (см. *Ориентационные фазовые переходы*) и далее к ПМ-фазе; концентрац. переходы ФМ-фазы в фазу *спинового стекла* (СС) и т. п. Магн. фазы иногда существуют с др. упорядоченными фазами, так что М. ф. п. могут сопровождаться структурными, сверхпроводящими, сегнетоэлектрическими и др. фазовыми переходами (см., напр., *Магнитные сверхпроводники*).

Магнитные фазы и параметры упорядочения. Магн. свойства вещества на микроскопич. уровне описываются распределением магн. момента m , по узлам решётки кристалла или его непрерывным распределением $\mathbf{m}(\mathbf{r})$. Локальными параметром упорядочения служит квантовостатистич. величина $\langle m_i \rangle$; набор величин $\langle m_i \rangle$, в пределе при $T \rightarrow 0$ переходящих в m_i , для всех узлов в регулярных (с дальним порядком) магн. фазах — ФМ, АФМ и др. (или вероятностей их распределения в нерегулярных магн. фазах — СС и др.) полностью характеризуют эти фазы. Для описания магн. состояния регулярной фазы достаточно одного или неск. глобальных параметров дальнего упорядочения. К их числу относится, напр., намагниченность $m = M/N$ в расчёте на узел, где $M = \sum \langle m_i \rangle$ —

термодинамич. величина, называемая результатирующей намагниченностью (суммирование идёт по всем N эквивалентныммагн. ионам). Соответственно, при наличии двух или более магнитных подрешёток A , B, \dots глобальными параметрами упорядочения служат уд. намагниченности m_A , m_B , ... или их проекции на кристаллографич. оси; в АФМ-фазе используются также параметры $m = m_A + m_B$ и $l = m_A - m_B$.

Конкретный вид распределения (m_i) определяется минимизацией квантовомеханич. ср. энергии магнетика в осн. состоянии при $T=0$ (или свободной энергии при $T \neq 0$) с учётом взаимодействия с внешн.магн. полем, дополнит. условия нормировки $|m_i| = \text{const}$ и требований *магнитной симметрии* магнетика. Влияние размеров и формы реальных образцов с доменной структурой, а также магн. диполь-дипольного взаимодействия в них проявляется в том, что на поверхности образца возникают размагничивающие поля и изменяются условия устойчивости фаз.

Простейшая (полностью неупорядоченная) магн. фаза наз. пармагнитной и характеризуется тем, что магн. моменты во всех узлах испытывают тепловые флуктуации, так что в отсутствие внеш. магн. поля ($H=0$) все $\langle m_i \rangle = 0$. В ПМ-фазе полностью отсутствует спонтанный дальний магн. порядок, т. е. $m=0$.